

京都大学大学院 学生員 竹東 正孝  
 京都大学工学部 正員 中川 博次  
 京都大学工学部 正員 辻本 哲郎

本研究は非常常河床流れについての基礎的研究の一環として行なわれたもので、著者らはこれまでに次の事項についてすでに検討している。1) 微小変動流量を対象とした流量変化に対する河床波スケールの単位応答の概念を用いて、線型解析を行い、非常常河床流れの遅れ構造を検討した。但し洪水等を対象とする線型解析は不適だし、河床波スケール単位応答(植栽実験表示)を形式的るものであった。2) 流量急増・漸増実験により流量増加時の河床波の変形速度について検討し、はるかに複雑モデルで表現しえることを示し、変形速度がその時刻の流量とスケールで決まるところ、河床波の変形過程を逐次計算で予測できることを示した。但し、追いつき合体モデルでは河床波スケールが漸近的に平衡流速に収束するため精度良い予測が必ずしも可能でなかったこと、流量減少時にこの検討がなされなかった等の反省点が挙げられる。

上述の反省と反対に鑑み、今回は図1に示すように流量変化パターンでの実験を行った。実験は長さ9m幅33cm可変勾配水路を河床勾配  $I = 0.002$  に調整(通水中止)、  
**図1 実験が対象とした流量変化パターン**

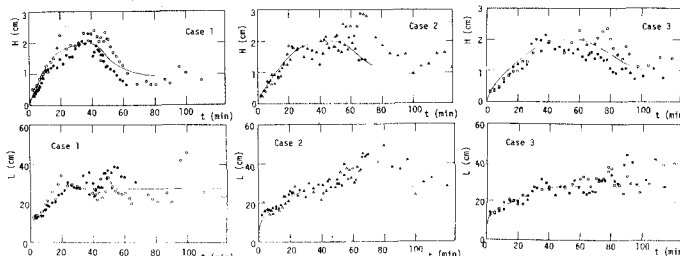


図2 河床波の波高・波長の時間的変化

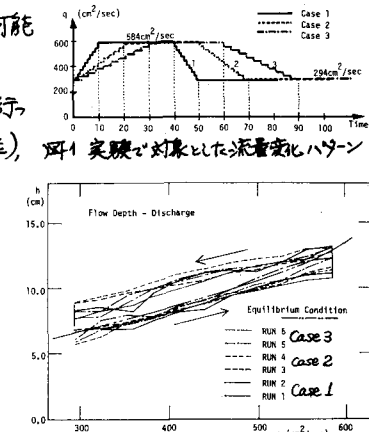


図3 水深～流量関係(実験値)

中央粒径 0.07 cm の粗骨格砂を用いて行われた。河床形状の時間的変化を自走式超音波測定器でとれ、crest-to-crest で定義した波長・波高の平均値の時間的変化を調べた。河床波のスケール(波長・波高)についての実験結果は図2に示す通りで、波高は流量が増減に瞬時に応答はしないまでも、構造遅延しているためにに対し、波長は流量減少に伴うた減少を呈す。Case 2 ではむしろ増加の傾向がある。いずれにせよ、このような状況における水深～流量関係は図3に示すように顕著なループを示している。

さて、河床波スケールの時間的変化においては、とくに流量減少時が複雑で、この時期にあい crest-to-crest による波長・波高の定義は zero-crossing 法を含め必ずしも適切でない。そこで主として植生に最も影響すると考えられる大流量時に形成されたものの残存河床波(新生・発達したものとスケールも小さく周期的)に着目し、それらの個々のスケールの変化を調べたものが図4であり、流量減少時には波長変化(追いつき合体事象が発現)はほとんど無く、波高変化(埋めだし現象)が卓越するものと判断される。

ところで、今回の実験結果及びこれまでの実験結果より、流量が

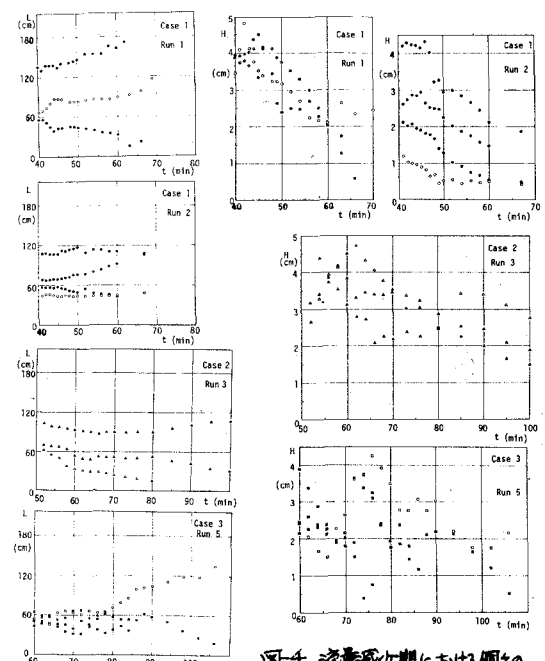


図4 流量減少期における個々の河床波の運動

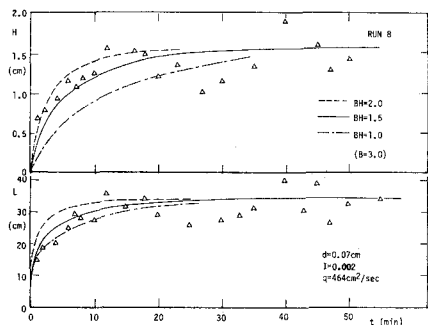


図-5 平坦河床からの河床波の発達(流量一定)

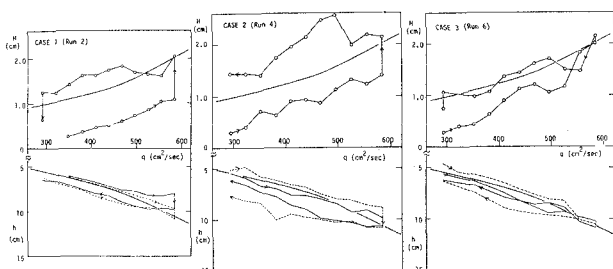


図-6 河床波の波高変化と水深の変化の対応  
(図中、実線: 実測値、破線: Yalinの式による計算値)

変化する場合での移動床系の応答性状について河床波スケール $\Pi$ の変化率  $d\Pi/dt = \text{func}(\Pi, \Pi_e, \beta_B)$  [ $\beta_B$ : 流砂量, 深さは平衡値を基準とする]の推定が最も重要なである。流量増加時についても、今までの河床波の発達過程についての実験及び今回更に追加して行った数例(図-5参照)とともに、着者らの先のモデル<sup>3)</sup>とよくに平衡段階への漸近的収束を考慮して次のように修正した。

$$\frac{d\Pi}{dt} = \frac{BH + BL}{I - P_0} f(q) \frac{\partial}{\partial L} (1 - \frac{H}{H_e}) , \quad \frac{dL}{dt} = \frac{BL - B}{I - P_0} f(q) \frac{\partial}{\partial H} (1 - \frac{L}{L_e - L_0})$$

但し、 $BH$ ,  $BL$ ,  $B$ は実験定数,  $P_0$ : 砂の空隙率,  $L_0$ : 初期流長であります( $f(q)$ は定数とせよ)(詳しくは文献3)を参照)。多くの実験結果を参考に流量増加時につつても  $BH = BL = 1.5$ ,  $B = 3.0$  が適合することわかった。一方流量減少時は流砂量が増めがちになればそれとも  $BH = 3.0$ ,  $BL = 0$  となる場合も上式を適用することとした。さて、河床波スケールが水深すなわち挿れに影響することによれば、図-6に示すように河床波高へ流量のレフローは同じで水深へ流量のレフローの現れることがわかる。河床形状を既知量とする極端則は例えYalinによると式が次のようである。

$$CH/\theta = \frac{1}{k} \ln \left( \frac{H}{\theta} \right) / \left[ 1 - \frac{1}{k} \cot \phi - \frac{1}{k} \left( \ln \frac{H}{\theta} \right)^2 \right] [C: Chezy係数]$$

中: 破線直角] これで  $H = C \sqrt{k I}$ ,  $\theta = U_h$  を連立させ実測河床波スケールを代入して  $\theta$ を教導計算求めると図-6の破線のようにはばかく深へ流量関係を求め得る。但し図-6に示す水深の実測値とひとくち水路倒壁の効果で考慮して経深を代用している。一方、流砂量については河床波の頂點にかかるずつ "stream power (ヘリ)と一対の關係がある(河床材料走)ようだ、このタイプの流砂量式を用いた。即ち  $I = \text{const.}$ ,  $\beta_B = \text{func}(q)$  である。(河床波の崩壊過程におけるこの型式の流砂量の適用性は確認されてない)。また平衡状態の河床波のスケールについても同様の考え方から  $H_e$ ,  $L_e$  もとの実験と同様、これら実験的に決めた(図-7)。

図-7 中に実験式を示したが  $\theta = 55 \text{ cm}^2/\text{sec}$  は今回実験対象( $d=0.07 \text{ cm}$ ,  $I=1/500$ )に対する限界流量値に対するモデルを用いて、今後の実験条件を想定して計算すると、

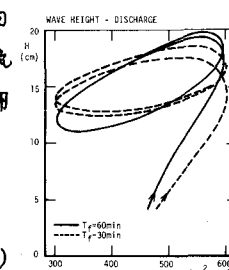
図-2中の実験や図-8, 9に示すように(図-9

と比較对照される)、現象が結構うまく説明される。さらに  $\theta = 450 + 150 \sin(2\pi t/T_f)$

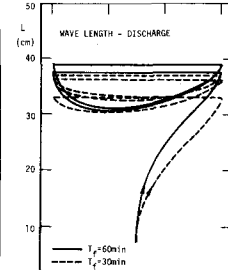
[単位  $\text{cm}^2/\text{sec}$ ] なる変動流量について  $t=0$ ;  $H=0$

$L=L_0$  を初期条件として計算した結果を図-10に示す。

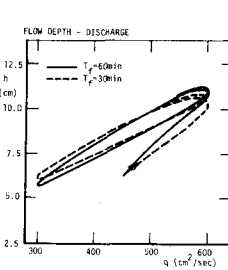
今後、より一般的な理論へと進展させたい。



(a)



(b)



(c)

図-10 正弦波状流量変化に対する河床波のT-f, 水深の応答遷れ

参考文献: 1)竹東・中川・辻本: 第36回国際水工学講義, 2)中川・辻本: 第25回国水講, 3)中川・辻本: 第一大陸架研究報告書(1978)  
4) Yalin: La Houille Blanche (1969)